

# Analyse, conception et réalisation d'un environnement pour le pilotage et la visualisation en ligne de simulations numériques parallèles

Aurélien Esnard

Université Bordeaux I – LaBRI & INRIA Futurs

12 décembre 2005



## 1 Introduction

- Problématique
- Travaux existants
- Positionnement & Contributions

## 2 Modèles pour un environnement de pilotage

- Modèle pour le pilotage de simulations numériques parallèles
- Modèle pour la redistribution d'objets complexes

## 3 Réalisation & Validation

- EPSN
- Résultats expérimentaux
- Quelques applications

## 4 Conclusion & Perspectives

## 1 Introduction

- **Problématique**
- Travaux existants
- Positionnement & Contributions

## 2 Modèles pour un environnement de pilotage

- Modèle pour le pilotage de simulations numériques parallèles
- Modèle pour la redistribution d'objets complexes

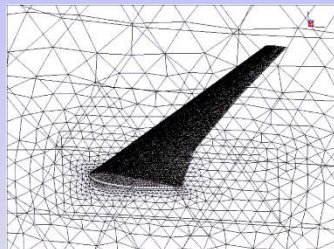
## 3 Réalisation & Validation

- EPSN
- Résultats expérimentaux
- Quelques applications

## 4 Conclusion & Perspectives

**Programme permettant de reproduire numériquement sur un ordinateur un phénomène physique décrit par un modèle mathématique.**

- **Phénomènes modélisés complexes**
  - mécanique des fluides, biologie moléculaire, astrophysique, ...
  - loi d'évolution en temps (EDP)
- **Caractéristiques des simulations**
  - très calculatoires (algorithmique complexe)
  - gros volumes de données (maillages fins)
- **Programmes parallèles**
  - distribuer les données en mémoire
  - plusieurs CPUs pour accélérer les calculs

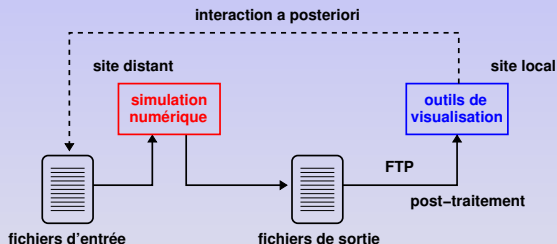


Maillage représentant le profil d'une aile d'avion.

**Besoin d'outils pour l'analyse des résultats : visualisation scientifique**

## Cycle de travail en Batch

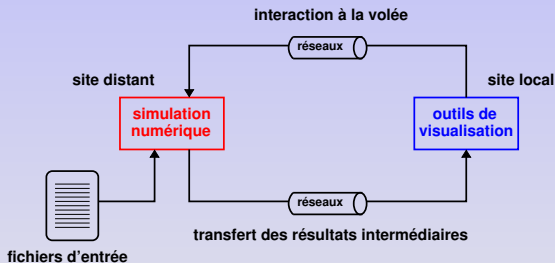
- Choix paramètres d'entrée → calcul → analyse des fichiers en sortie
- Modification des paramètres en entrée → calcul → ...



**Cycle de travail en Batch long et fastidieux.**

## De nouveaux besoins apparaissent... plus d'interactivité !

- Visualiser « en temps-réel » les résultats intermédiaires
- Interagir à distance avec la simulation



## Couplage par le réseau de la simulation et de la visualisation

## Pourquoi c'est utile ?

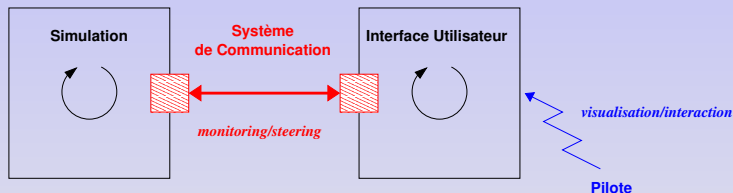
- Surveiller l'évolution des calculs dans le cas de simulation longue  
→ connexion/déconnexion, détection d'erreurs (ex. paramètres d'entrée erronés)
- Diminuer le temps entre le calcul et l'interprétation  
→ visualisation en ligne des résultats intermédiaires
- Retrouver une démarche expérimentale (interaction + retour visuel)  
→ explorer l'espace des paramètres, analyse de cause-à-effet

## Pourquoi c'est difficile ?

- Coordonner les opérations de pilotage en parallèle  
→ garantir la cohérence des opérations de pilotage alors que la simulation n'est pas synchronisée
- Transférer et visualiser rapidement un gros volume de données  
→ limiter le surcoût induit par le pilotage dans la simulation

## Les trois composantes logicielles

- Simulation numérique → boucle de calcul en temps
- Interface utilisateur → visualisation + interaction
- Système de communication → réalisation du couplage



**Monitoring/Steering** : observation/modification de l'état de la simulation à distance, en cours d'exécution

## 1 Introduction

- Problématique
- **Travaux existants**
- Positionnement & Contributions

## 2 Modèles pour un environnement de pilotage

- Modèle pour le pilotage de simulations numériques parallèles
- Modèle pour la redistribution d'objets complexes

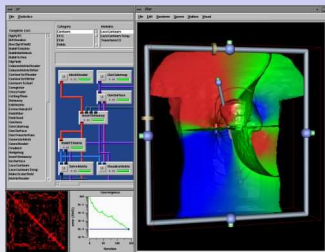
## 3 Réalisation & Validation

- EPSN
- Résultats expérimentaux
- Quelques applications

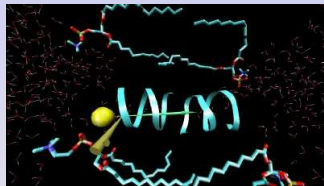
## 4 Conclusion & Perspectives

# Les différentes approches

- **Solution spécifique à une simulation (e.g. NAMD-VMD)**  
→ pilotage « sur mesure », non réutilisable
- **Problem Solving Environment (PSE)**  
→ solutions dédiées à la construction d'une nouvelle application (SCIRun, COVISE)
- **Solution générique : instrumentation**  
→ annotation d'un code source existant pour le rendre pilotable  
→ amélioration de la qualité logicielle (découplage fort simulation/visualisation)



PSE SCIRun



NAMD-VMD

- Quel type de simulation peut-on piloter ?  
→ séquentielle, multi-threads, parallèle
- Quelle représentation de la simulation dans l'environnement de pilotage ?  
→ points d'interaction, boucles de calcul, graphes de tâches, objets distribués
- Quel paradigme pour le pilotage ?  
→ communications bas-niveau, flux d'évènements, requêtes de pilotage

Environnement	Simulation	Abstraction	Pilotage
SCIRun (PSE)	séquentielle	modules	data-flow
COVISE (PSE)	séquentielle	modules	data-flow
VASE	séquentielle	graphe de tâches	data channels
CSE	séquentielle	points	read/write
Falcon	multi-threads	points	event stream
Progress/Magellan	multi-threads	points	event stream
PathFinder	SPMD	transactions	event stream
VIPER	SPMD	points	RPC
DAQV	SPMD	points	event stream
CUMULVS	SPMD	boucle de calcul	send/recv
MOSS	SPMD	objets distribués	RMI + event stream
DISCOVER	SPMD	objets distribués	RMI

## Comment garantir la cohérence des opérations de pilotage en parallèle ?

→ ex. accès en lecture/écriture à des données distribuées de la simulation

- **Cohérence spatiale** : accès aux données autorisé uniquement en des endroits précis du code
- **Cohérence temporelle** : accès aux données au « même instant logique » pour tous les processus de la simulation

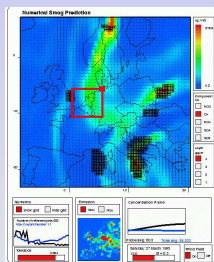
## Quelques stratégies

- **Event Reordering** (Falcon, Progress/Magellan)  
→ centralisation des évènements et tri *a posteriori*
- **Synchronisation faible ou forte** (CUMULVS, DAQV)  
→ synchronisation plus ou moins forte à chaque itération

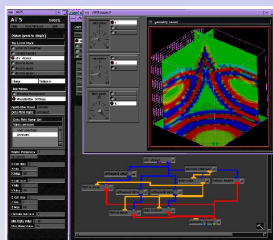
## Stratégies induisant un surcoût important et systématique !

## Quels outils pour piloter les simulations numériques ?

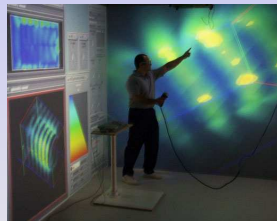
- **Visualisation scientifique 2D/3D**
  - interface graphique « maison » (PGO de CSE)
  - outils de visualisation professionnels (CUMULVS + AVS)
  - immersion dans un CAVE (CAVEStudy, CUMULVS, CSE)
- **Interactions de pilotage**
  - interactions simples (widgets 2D/3D)
  - interactions par manipulation directe de l'image (Chatzikinos *et al.*)



PGO Editor de CSE (Mulder *et al.*, 1998)



CUMULVS + AVS



AVS/Express dans un CAVE (Kuo *et al.*, 2000)

## 1 Introduction

- Problématique
- Travaux existants
- **Positionnement & Contributions**

## 2 Modèles pour un environnement de pilotage

- Modèle pour le pilotage de simulations numériques parallèles
- Modèle pour la redistribution d'objets complexes

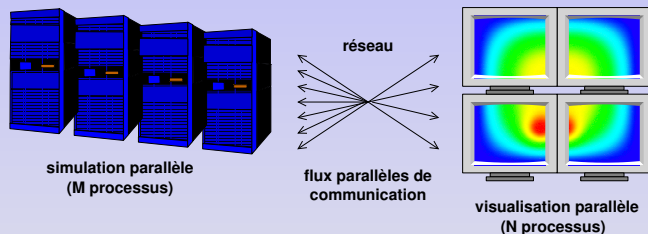
## 3 Réalisation & Validation

- EPSN
- Résultats expérimentaux
- Quelques applications

## 4 Conclusion & Perspectives

## Piloter des simulations numériques parallèles en s'appuyant sur des outils de visualisation eux-mêmes parallèles

- visualisation en ligne pour des simulations SPMD
- gros volume de données, image à des résolutions élevées



**Le pilotage  $M \times N$  est vu comme un problème de couplage spécifique**

- couplage asymétrique, dynamique et non prévisible

## Les deux principaux problèmes que nous étudions :

- Le problème de la coordination efficace des opérations de pilotage
  - modèle de description des simulations parallèles : **MHT**
  - introduction système de **datation**
  - algorithme de **planification** des traitements pour garantir la cohérence
- Le problème de la redistribution de données complexes
  - modèle de description des données : **objets complexes**
  - étendre les travaux existants dans le cadre du pilotage
  - proposition de nouvelles approches pour la redistribution

## Conception et réalisation d'un environnement de pilotage EPSN

- basé sur les technologies CORBA et VTK
- développé en collaboration avec Michael Dussere (Ingénieur, INRIA Futurs)

- 1 Introduction
  - Problématique
  - Travaux existants
  - Positionnement & Contributions
- 2 **Modèles pour un environnement de pilotage**
  - **Modèle pour le pilotage de simulations numériques parallèles**
  - Modèle pour la redistribution d'objets complexes
- 3 Réalisation & Validation
  - EPSN
  - Résultats expérimentaux
  - Quelques applications
- 4 Conclusion & Perspectives

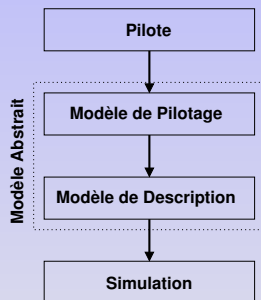
## Recherche d'une approche générique pour le pilotage de simulations SPMD

- **Modèle de description**

- basé sur l'instrumentation du code source
- structure du programme : modèle hiérarchique en tâches (MHT)
- données distribuées : objets complexes

- **Modèle de pilotage**

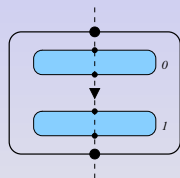
- pilotage par des requêtes
- association des interactions possibles aux tâches du MHT



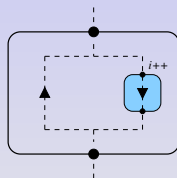
**Le modèle doit indiquer à l'environnement de pilotage où, quand et comment interagir de manière cohérente avec le code de simulation.**

## Description des programmes structurés séquentiels ou SPMD

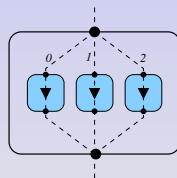
- Modèle simple basé sur un arbre de tâches  
→ tâche contenant des sous-tâches
- Inspiré des travaux de Polychronopoulos *et al.* sur les HTGs
- Quatre types de tâches (simple, boucle, conditionnelle, point)  
→ capturer le flot d'exécution
- Description à grain moyen du code de simulation  
→ annoter dans le source uniquement les tâches pertinentes



(a) tâche composée



(b) tâche en boucle



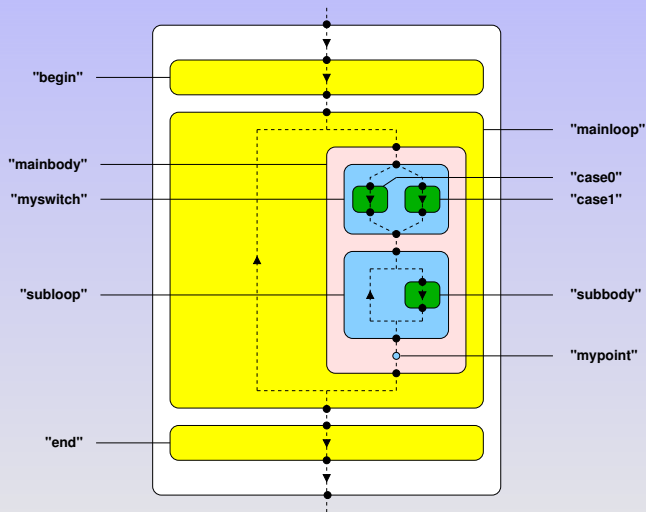
(c) tâche conditionnelle



(d) tâche en point

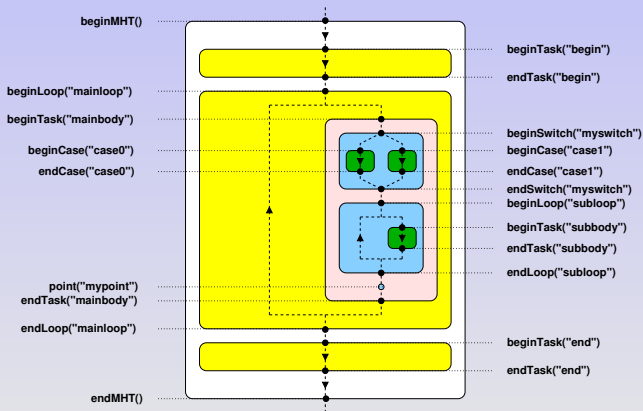
# Exemple de MHT

## Exemple avec deux boucles imbriquées, une conditionnelle et un point d'interaction

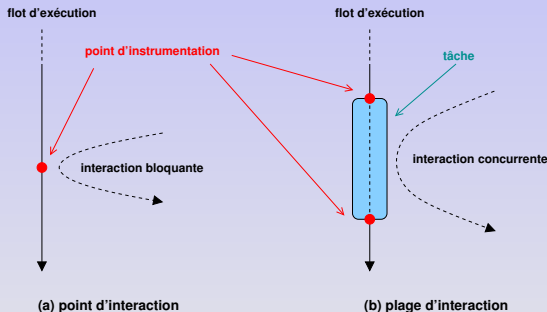


# Construction du MHT par l'utilisateur

- Repérer dans le code le début et la fin de chaque tâche  
→ points d'instrumentation (ex. *beginTask/endTask*)
- Description XML du MHT  
→ connaissance statique et vision hiérarchique



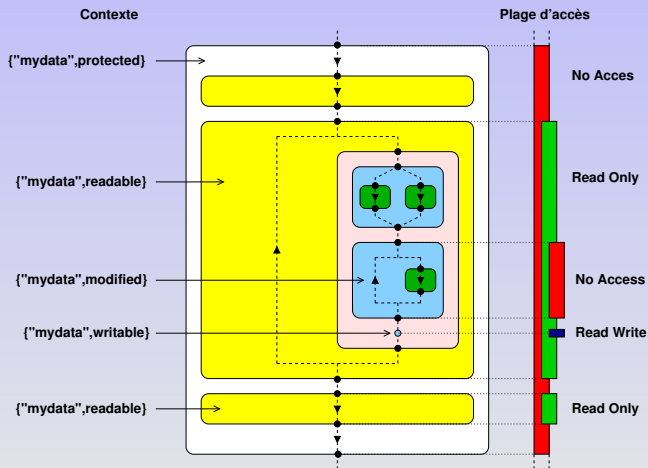
- Interaction bloquante sur un point du MHT  
→ surcoût maximal dans la simulation
- Interaction concurrente à l'exécution d'une tâche du MHT  
→ fin de tâche bloquante si interaction non terminée  
→ recouvrement possible des interactions (diminution du surcoût)



**Exploitation de plage d'accès aux données pour recouvrir les transferts !**

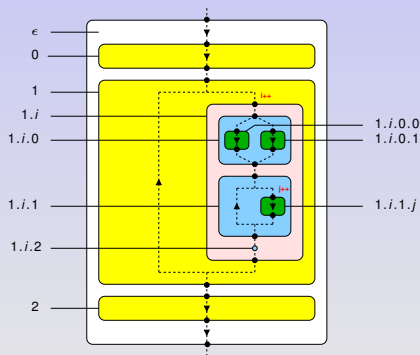
# Plage d'accès aux données

- Contexte d'accès associé aux tâches : *readable*, *writable*, *modified*, *protected*
- Configuration des plages d'accès via un fichier XML décrivant le MHT



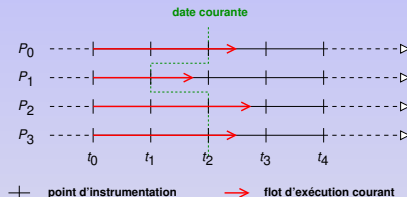
## Suivre précisément l'évolution des calculs sur le MHT

- Dates de tâche
  - concaténation d'indices relativement à la hiérarchie
  - indice : compteur d'itérations pour les boucles, branche de la conditionnelle, ...
- Dates de point
  - associée aux points d'instrumentation du MHT
  - date de tâche + position en début ou en fin de tâche
  - relation d'ordre stricte et totale pour comparer les dates



# Modèle d'exécution pour des simulations SPMD

- Chaque processus parcourt le même MHT  
→ exécution *a priori* non synchronisée de la simulation
- Date courante d'un processus  
→ dernière date de point rencontrée par le flot d'exécution



## Hypothèse d'un parcours SPMD strict du MHT

Tous les processus  $P_i$  rencontrent la même séquence de points d'instrumentation aux dates  $t_0$ ,  $t_1$ , etc.

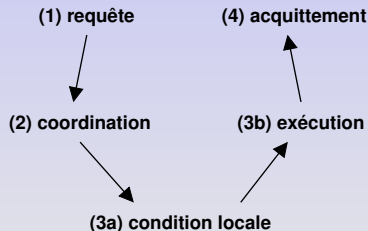
- même nombre d'itérations dans les boucles
- même choix de branche pour les conditionnelles

## Modèle de pilotage par les requêtes

- **Les requêtes simples**  
→ get, put, action, play/step/stop
- **Requêtes permanentes**  
→ envoi périodique (getp), actions répétées
- **Requêtes complexes**  
→ composition de requêtes simples (multi-get, actions paramétrées, ...)

## Le cycle de vie des requêtes

- 1 **Envoi de la requête cliente**
- 2 **Coordination du traitement de la requête**
- 3 **Traitement de la requête**  
→ évaluation d'une « condition locale »  
→ exécution de la requête
- 4 **Acquittement marquant la fin du traitement**

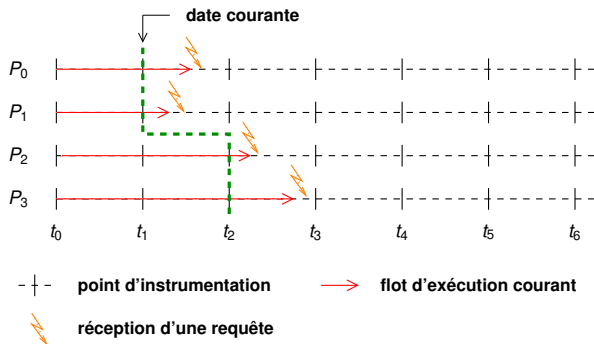




## Planifier une date de traitement afin de garantir la cohérence temporelle

- **Difficultés** : simulation parallèle non synchronisée, requêtes non prévisibles
- **Objectif** : établir une date commune en évitant toute synchronisation coûteuse

### (1) réception d'une requête

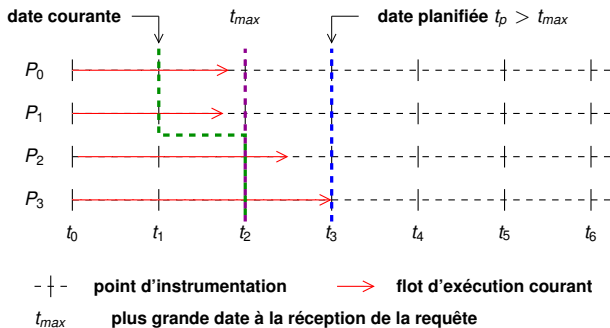




## Planifier une date de traitement afin de garantir la cohérence temporelle

- **Difficultés** : simulation parallèle non synchronisée, requêtes non prévisibles
- **Objectif** : établir une date commune en évitant toute synchronisation coûteuse

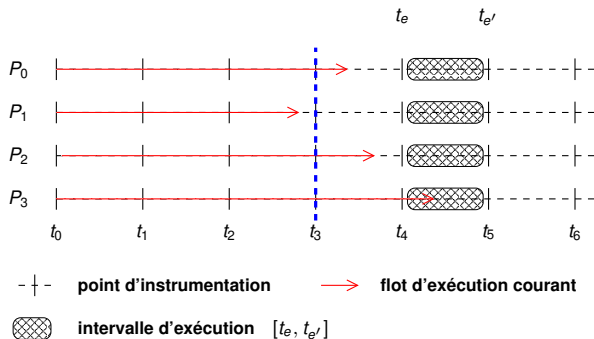
### (3) planification d'une date de traitement



## Planifier une date de traitement afin de garantir la cohérence temporelle

- **Difficultés** : simulation parallèle non synchronisée, requêtes non prévisibles
- **Objectif** : établir une date commune en évitant toute synchronisation coûteuse

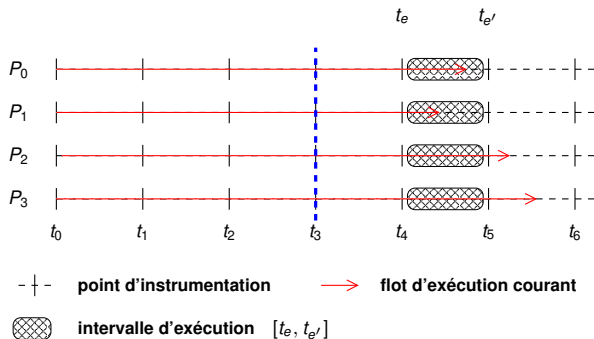
### (4) traitement de la requête en cours



## Planifier une date de traitement afin de garantir la cohérence temporelle

- **Difficultés** : simulation parallèle non synchronisée, requêtes non prévisibles
- **Objectif** : établir une date commune en évitant toute synchronisation coûteuse

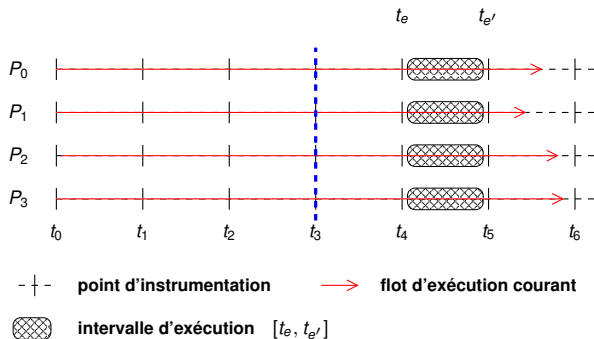
### (5) suite du traitement



## Planifier une date de traitement afin de garantir la cohérence temporelle

- **Difficultés** : simulation parallèle non synchronisée, requêtes non prévisibles
- **Objectif** : établir une date commune en évitant toute synchronisation coûteuse

(6) fin du traitement

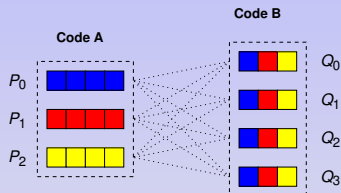


- 1 Introduction
  - Problématique
  - Travaux existants
  - Positionnement & Contributions
- 2 **Modèles pour un environnement de pilotage**
  - Modèle pour le pilotage de simulations numériques parallèles
  - **Modèle pour la redistribution d'objets complexes**
- 3 Réalisation & Validation
  - EPSN
  - Résultats expérimentaux
  - Quelques applications
- 4 Conclusion & Perspectives

# Le problème de la redistribution des données

## Travaux dans le cadre plus général du couplage de codes

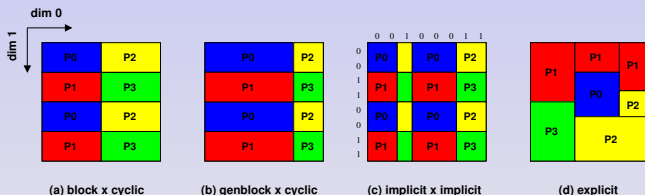
- Deux ensembles de processeurs disjoints  $P$  et  $Q$  (de taille  $M$  et  $N$ )
- Un même ensemble de données partagé entre deux codes  $A$  et  $B$
- Nombre de processus  $M$  et  $N$  différents, distributions différentes



## Les étapes de la redistribution

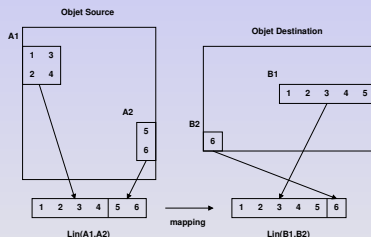
- 1 Description des données (distribution, stockage)
- 2 Génération des messages
- 3 Ordonnancement (étapes de communication)
- 4 Communication (flux parallèles)

- **Tableaux multi-dimensionnels denses**
  - distribution régulière bloc-cyclique : HPF, ScaLAPACK ( $M = N$ )
  - distribution explicite : PAWS, CCA  $M \times N$
- **Principe de linéarisation**
  - approche très générique, indépendante structure de données
  - Meta-Chaos/InterComm, MPI I/O  $M \times N$
- **Solutions dédiées plus spécifiques (couplage multi-physiques)**
  - MCT (grilles), MpCCI (interpolation grilles/maillages)



CCA  $M \times N$

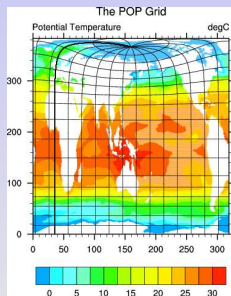
- **Tableaux multi-dimensionnels denses**
  - distribution régulière bloc-cyclique : HPF, ScaLAPACK ( $M = N$ )
  - distribution explicite : PAWS, CCA  $M \times N$
- **Principe de linéarisation**
  - approche très générique, indépendante structure de données
  - Meta-Chaos/InterComm, MPI I/O  $M \times N$
- **Solutions dédiées plus spécifiques (couplage multi-physiques)**
  - MCT (grilles), MpCCI (interpolation grilles/maillages)



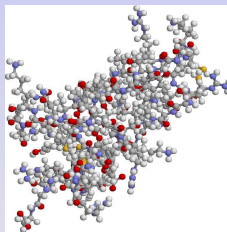
Principe de linéarisation.

## Besoin d'étendre les travaux sur la redistribution pour...

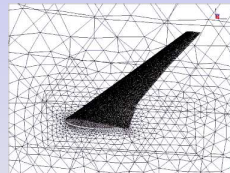
- **Supporter des distributions de données plus irrégulières**  
→ distributions par bloc quelconques (denses ou creuses)
- **Redistribuer des objets plus complexes**  
→ grilles, ensembles de particules, molécules, maillages non structurés...
- **Etre indépendant de la couche de communication**  
→ réutilisabilité, redistribution symbolique



Décomposition spatiale dans POP



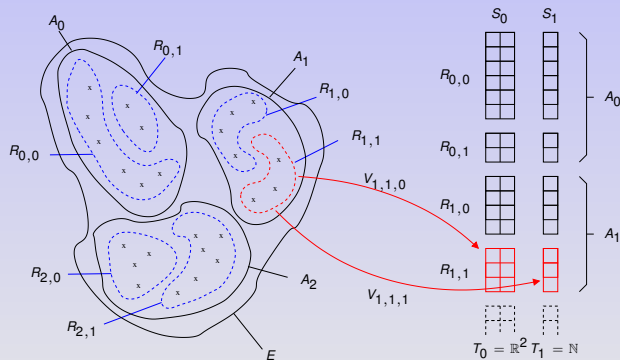
Molécule dans NAMD



Maillage d'une aile d'avion.

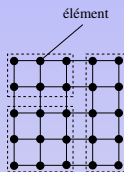
## Décrire les objets physiques manipulés par les codes de simulation

- Ensemble d'éléments totalement ordonnés distribués sur  $M$  processeurs
- Éléments regroupés en régions logiques (sous-ensemble d'éléments, ordre local)
- Séries de données associées aux éléments (stockage en *stride*)

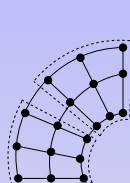


# Les différentes classes d'objets complexes

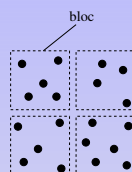
## grilles structurées, boîtes d'atomes, ensembles de particules, maillages non structurés



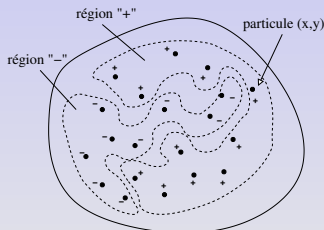
(a) grille régulière



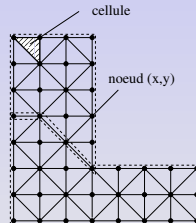
(b) grille irrégulière



(c) boîtes d'atomes



(d) ensemble de particules

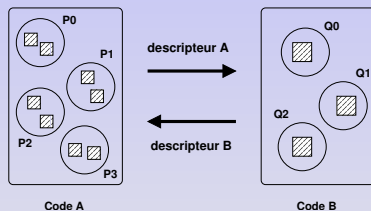


(e) maillage non structuré

## Initialisation

- Chaque processeur connaît la description de l'objet local.
- Il a besoin de connaître l'ensemble de la distribution distante.
- Il n'a pas besoin de connaître l'ensemble de la distribution locale !

## Contexte du couplage de codes

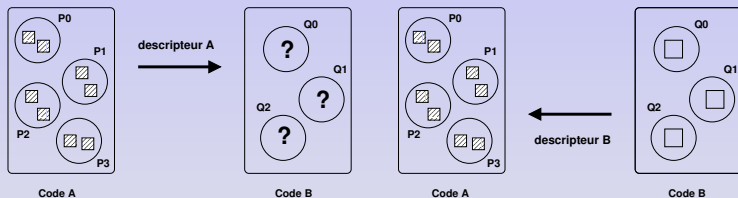


## Approche spatiale (algorithme symétrique)

## Initialisation

- Chaque processeur connaît la description de l'objet local.
- Il a besoin de connaître l'ensemble de la distribution distante.
- Il n'a pas besoin de connaître l'ensemble de la distribution locale !

## Contexte du pilotage



## Choix d'une distribution pour le code B (visualisation) :

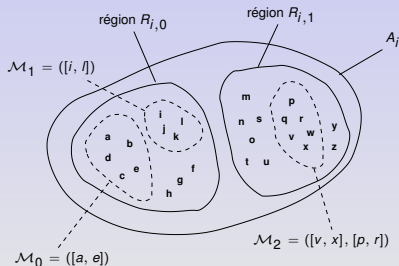
- 1) on se ramène au contexte symétrique du couplage
- 2) approche placement (algorithme asymétrique)

## Génération message

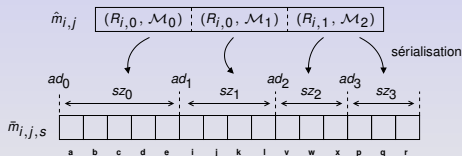
Pour chaque processeur  $P_i$ , faire en parallèle :

Pour chaque processeur distant  $Q_j$ , faire :

- Calculer le **message symbolique**  $\hat{m}_{i,j}$  de  $P_i$  vers  $Q_j$  (extraction)
- Pour chaque série de données  $S_s$ , faire :  
Générer le **message physique**  $\tilde{m}_{i,j,s}$  à partir de  $\hat{m}_{i,j}$  (sérialisation)

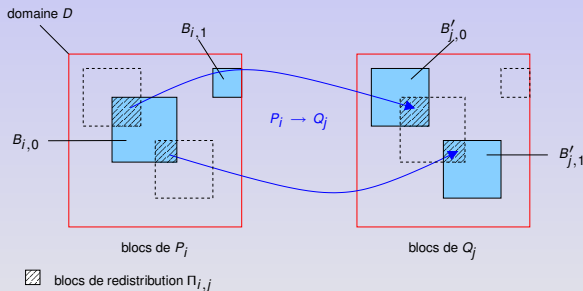


$$\hat{m}_{i,j} = ([a, e], [i, l], [v, x], [\rho, r])$$



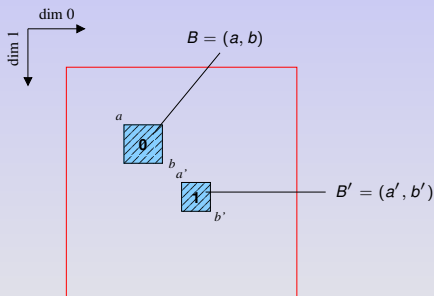
## Application aux objets distribués par blocs : grilles structurées, boîtes d'atomes

- 1 Calcul de l'ensemble des blocs de redistribution ( $\Pi_{i,j}$ ) par intersection géométrique des blocs de  $P_i$  et de  $Q_j$
- 2 Tri des blocs de redistribution dans un ordre canonique
- 3 Génération du message  $\hat{m}_{i,j}$  par extraction des éléments associés aux blocs de redistribution



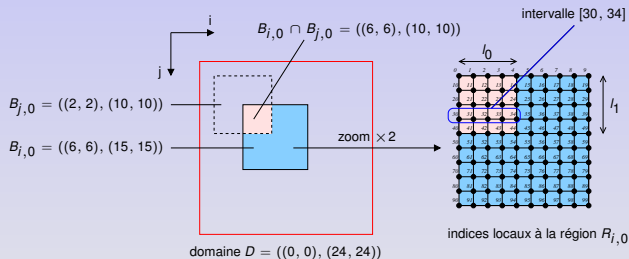
## Application aux objets distribués par blocs : grilles structurées, boîtes d'atomes

- 1 Calcul de l'ensemble des blocs de redistribution ( $\Pi_{i,j}$ ) par intersection géométrique des blocs de  $P_i$  et de  $Q_j$
- 2 **Tri des blocs de redistribution dans un ordre canonique**
- 3 Génération du message  $\hat{m}_{i,j}$  par extraction des éléments associés aux blocs de redistribution



## Application aux objets distribués par blocs : grilles structurées, boîtes d'atomes

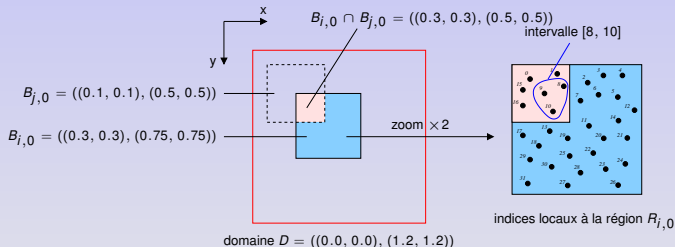
- 1 Calcul de l'ensemble des blocs de redistribution ( $\Pi_{i,j}$ ) par intersection géométrique des blocs de  $P_i$  et de  $Q_j$
- 2 Tri des blocs de redistribution dans un ordre canonique
- 3 Génération du message  $\hat{m}_{i,j}$  par extraction des éléments associés aux blocs de redistribution



extraction dans le cas des grilles structurées

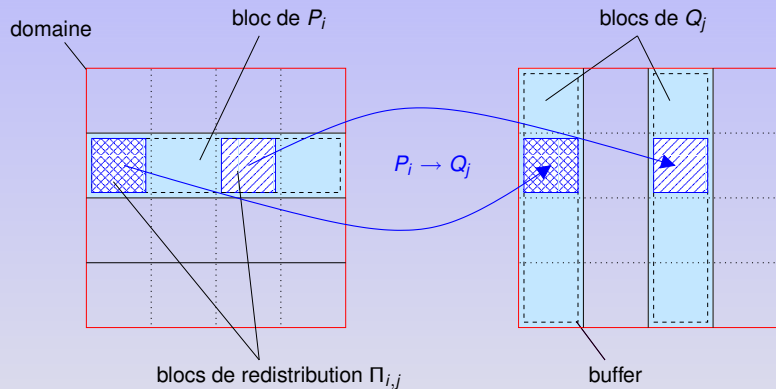
## Application aux objets distribués par blocs : grilles structurées, boîtes d'atomes

- 1 Calcul de l'ensemble des blocs de redistribution ( $\Pi_{i,j}$ ) par intersection géométrique des blocs de  $P_i$  et de  $Q_j$
- 2 Tri des blocs de redistribution dans un ordre canonique
- 3 Génération du message  $\hat{m}_{i,j}$  par extraction des éléments associés aux blocs de redistribution

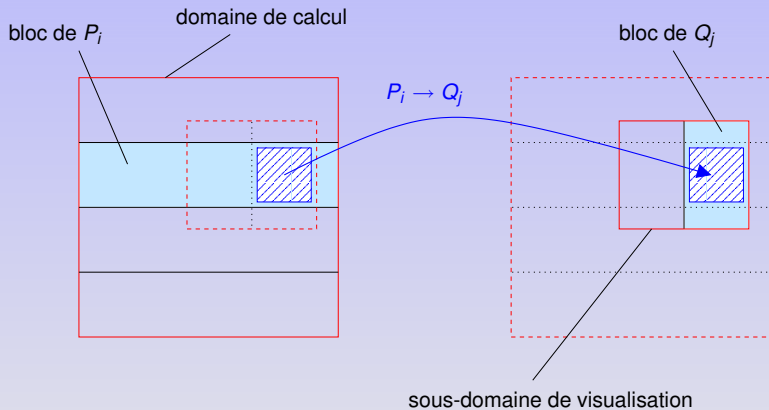


extraction dans le cas des boîtes d'atomes

# Exemples

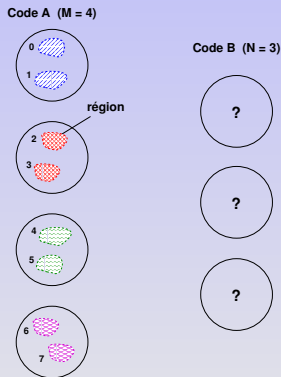


# Exemples



# Approche placement sans découpage

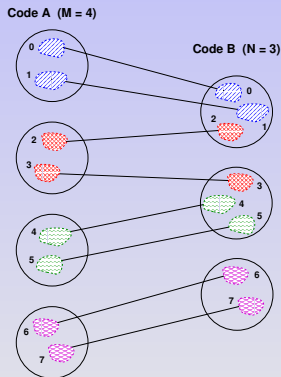
- Application à tous les types d'objets complexes
- Calcul d'un placement des régions de  $A$  vers  $B$  (dépendant fonction de coût)
- Bien adapté au contexte du pilotage ( $M > N$ )



(1) objet vierge

# Approche placement sans découpage

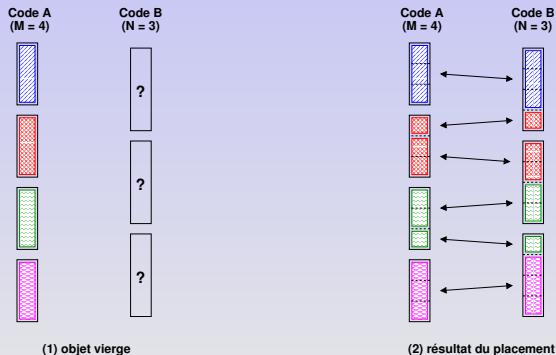
- Application à tous les types d'objets complexes
- Calcul d'un placement des régions de  $A$  vers  $B$  (dépendant fonction de coût)
- Bien adapté au contexte du pilotage ( $M > N$ )



(2) résultat du placement

# Approche placement avec découpage

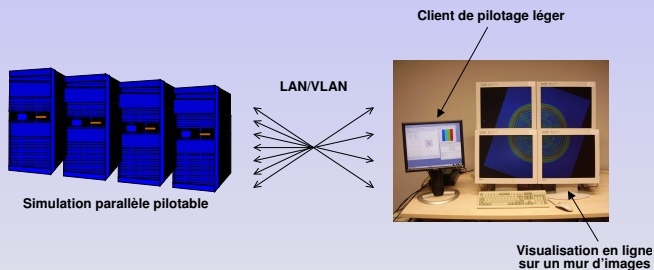
- Application aux ensembles de particules et aux maillages non structurés
- Opération abstraite de découpage des régions
  - triviale pour les ensembles de particules
  - basée sur un partitionneur pour les maillages (ex. Metis, Scotch)
- Découpage en unités logiques affectées aux processus distants
  - $M + N - PGCD(M, N)$  messages si distribution initiale équilibrée



- 1 Introduction
  - Problématique
  - Travaux existants
  - Positionnement & Contributions
- 2 Modèles pour un environnement de pilotage
  - Modèle pour le pilotage de simulations numériques parallèles
  - Modèle pour la redistribution d'objets complexes
- 3 **Réalisation & Validation**
  - **EPSN**
  - Résultats expérimentaux
  - Quelques applications
- 4 Conclusion & Perspectives

## Principales fonctionnalités

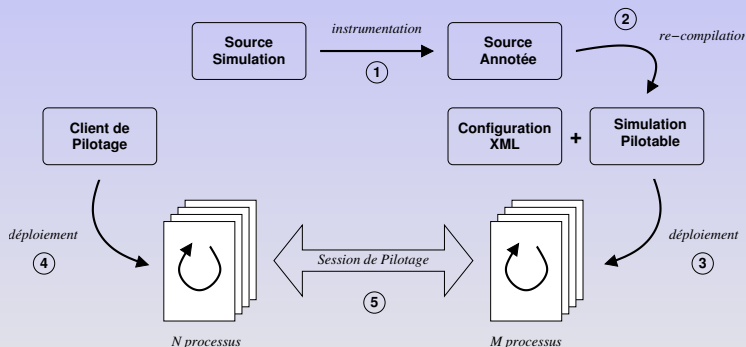
- Contrôle à distance du flot d'exécution
- Extraction de données pour la visualisation en ligne
- Modification des données à la volée
- Déclenchement d'actions (callback)



**Environnement dynamique et distribué : connexion/déconnexion de multiples utilisateurs**

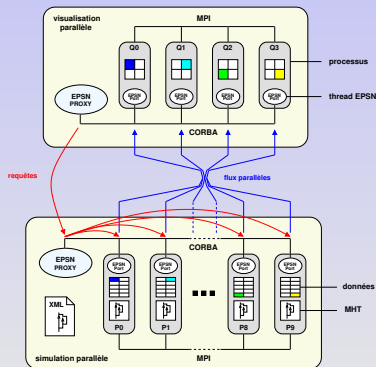
# Processus d'intégration et de déploiement

- Annotation du code source + configuration des interactions via le fichier XML
- Re-compilation, déploiement de la simulation, connexions clientes
- Session de pilotage : requêtes asynchrones et concurrentes

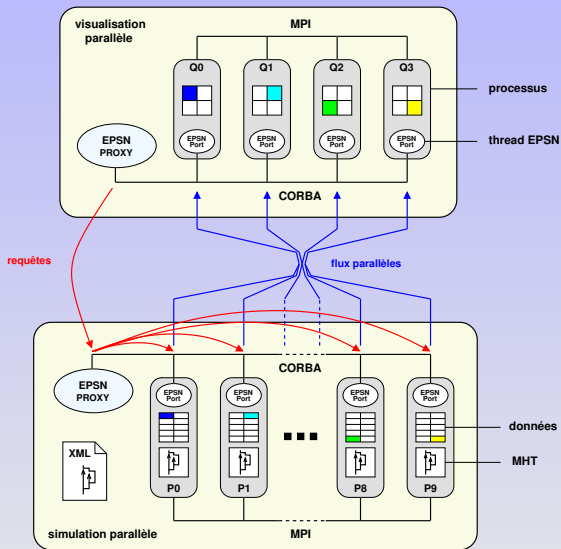


## Couplage simulation parallèle et visualisation parallèle

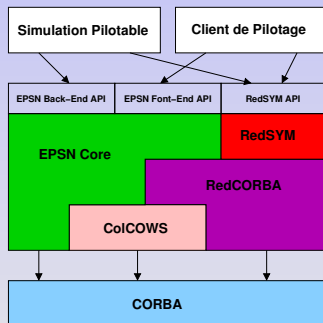
- Approche composant parallèle (proxy + plusieurs ports)
- Gestion centralisée des requêtes, transfert direct des données
- Système de communication basé sur CORBA
- Threads EPSN dédiés aux traitements des interactions



# Architecture d'EPSN



- **ColCOWS** : couche de connexion CORBA
- **RedSYM** : couche de redistribution symbolique
- **RedCORBA** : couche de transfert basée sur CORBA
- **EPSN Core** : gestionnaire de requêtes, coordination, *etc.*



## Interface utilisateur générique pour le pilotage de simulation EPSN

The image shows a screenshot of the Simone simulation monitoring interface with several components labeled:

- Visualisation du MHT**: A diagram showing nested boxes for 'bandwidth-solver', 'bandwidth-solver', 'bandwidth-correct adjust', and 'swap'.
- Accès aux Données (get/put/getp)**: A small dialog box titled 'Télécharger & télécharger' with 'OK' and 'Cancel' buttons.
- Contrôle (play/step/stop)**: A set of control buttons in the main interface.
- Benchmarks**: A small window showing performance metrics:
 

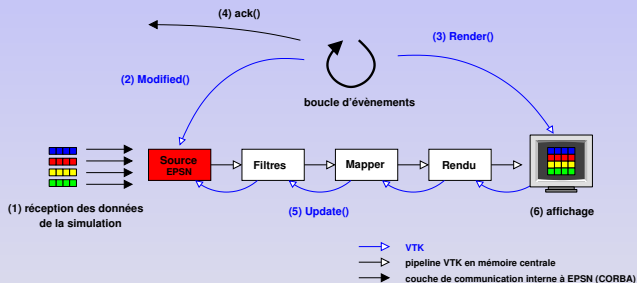
last measure	50 780276us
measured min	46 579438us
measured max	106 523986us
average measure	66 578672us
sum measure	1396 679445us
nb of measure	212
- Séries de Données**: A table of simulation data with columns for 'id', 'series', 'type', 'v', 'v14', 'v15', 'v16', 'v17', 'v18', 'v19'.
 

id	series	type	v	v14	v15	v16	v17	v18	v19
104	0.646113	3.25630	5.49472	1.31037	0.209630	1.48779			
105	4.2881	4.09489	2.88988	0.99972	2.2001	3.22916			
106	5.25818	5.07595	4.93287	1.71254	4.33942	3.92526			
107	5.56331	6.33337	6.25045	6.40441	6.5820	6.70333			
108	6.79918	7.28823	7.82847	8.81328	8.8874	9.72747			
109	7.67638	8.20561	8.9821	20.0161	81.2466	21.7387			
110	8.58567	9.49453	10.5985	11.0984	11.7843	25.9346			
111	9.88108	10.7828	12.2027	16.0823	16.2891	18.2075			
112	10.9461	12.1668	13.8936	36.136	18.9228	22.492			
113	11.5907	13.3953	15.6195	35.048	23.7880	26.8751			
114	12.6871	16.8276	17.4078	28.8178	24.8028	29.9919			
115	13.9104	18.2676	19.2085	25.0218	27.4123	32.874			
116	14.9814	17.7008	21.1759	25.3404	30.2861	36.4852			
117	16.0481	19.2479	22.3278	27.8807	32.2896	39.9134			
118	17.0829	20.7441	24.9184	28.8122	36.0071	43.4769			
119	18.0908	22.1945	25.8447	32.2318	38.8452	46.8251			
120	18.8778	23.3125	26.377	34.6298	41.3759	49.8029			
121	19.6292	24.1761	26.7476	36.3913	43.6829	52.2744			
122	19.7445	24.6059	26.5895	37.2663	45.2621	54.8434			
123	19.9373	24.2876	26.6577	37.7208	46.835	55.3346			
124	17.2871	23.0876	29.9365	37.8167	49.3899	60.2629			
- Feuille de Données**: A heatmap visualization showing a circular gradient from blue to red.
- Plug-in de Visualisation VTK**: A 2D plot showing a 3D surface plot with axes ranging from -4000 to 4000.
- Gestionnaire de Requêtes**: A table showing request details:
 

requête	connexion	état	début	stock
0				
1	1	GetDataRequest NewData	644	
2	1	GetDataRequest NewData	644	
3	1	GetDataRequest Complete		1
- Simulations Connectées**: A list of connected simulations with a 'stop' button.
- Date Courante**: A date field showing '01.12.2005'.

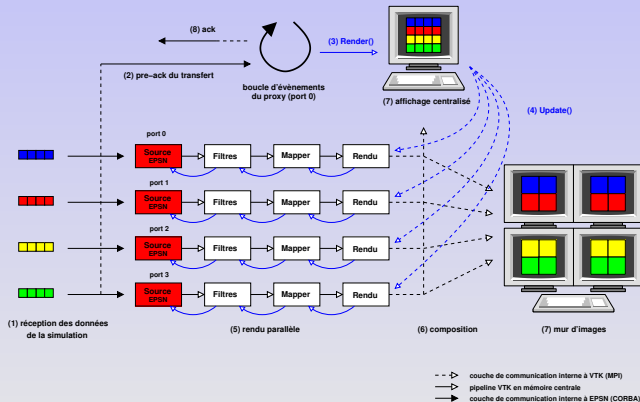
# Visualisation en ligne avec VTK (The Visualization Toolkit)

- Traduction automatique des **objets complexes** RedSYM en **source VTK**
- Intégration transparente dans le pipeline de visualisation de VTK



# Visualisation en ligne avec VTK (The Visualization Toolkit)

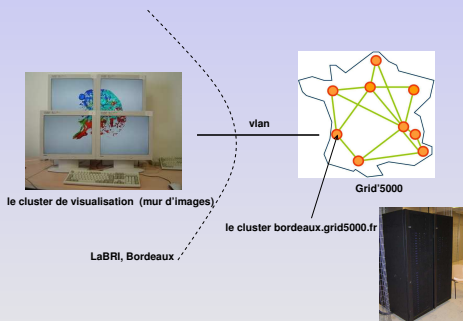
- Visualisation parallèle et rendu centralisé sur un écran  
→ composition des rendus partiels en comparant le Z-buffer (*sort-last*)
- Visualisation parallèle et rendu parallèle sur un mur d'images  
→ VTK + ICE-T (Moreland *et al.*)



- 1 Introduction
  - Problématique
  - Travaux existants
  - Positionnement & Contributions
- 2 Modèles pour un environnement de pilotage
  - Modèle pour le pilotage de simulations numériques parallèles
  - Modèle pour la redistribution d'objets complexes
- 3 Réalisation & Validation
  - EPSN
  - **Résultats expérimentaux**
  - Quelques applications
- 4 Conclusion & Perspectives

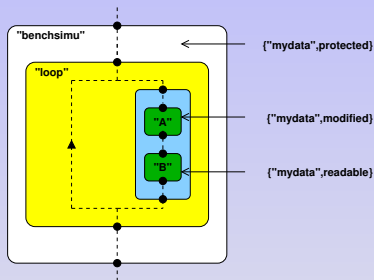
# Conditions expérimentales

- **Cluster de calcul Grid'5000 Bordeaux**
  - 50 bi-opteron 2.2 GHz/2 Go
- **Cluster de visualisation**
  - 4 bi-xeon 2.8 GHz/2 Go, Nvidia GeForce 4 (AGP 8X, 128 Mo)
- **Réseaux**
  - giga-Ethernet intra-cluster (LAN) et inter-clusters (VLAN)
- **Logiciels**
  - LAM/MPI 7 : débit max. 112 Mo/s., latence 103  $\mu$ s.
  - OmniORB 4 : débit max. 110 Mo/s. (avec copie 97.5 Mo/s.), latence 107  $\mu$ s.



# Mise en œuvre du recouvrement

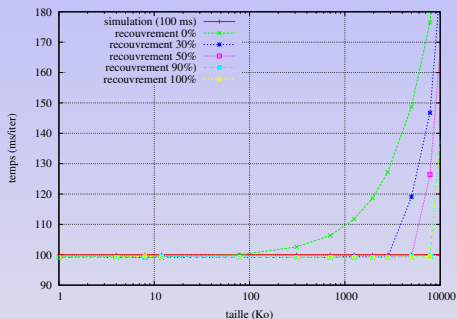
Simulation test avec deux tâches A et B. Variation de la plage de lecture (A) par rapport durée totale d'une itération (A+B). 1 transfert/iter.



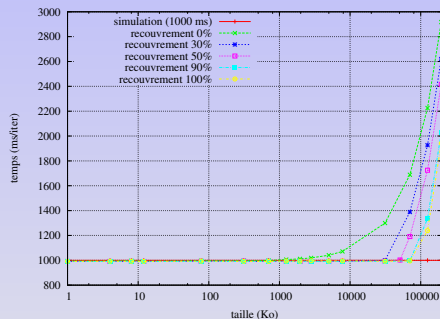
MHT de la simulation test.

# Mise en œuvre du recouvrement

Simulation test avec deux tâches A et B. Variation de la plage de lecture (A) par rapport durée totale d'une itération (A+B). 1 transfert/iter.



Simulation rapide (100 ms/iter.).

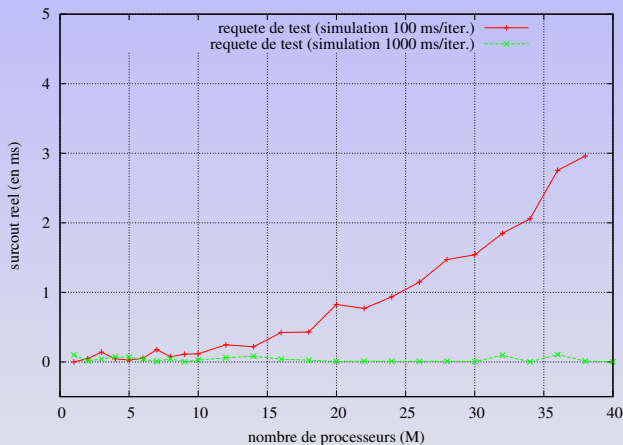


Simulation lente (1000 ms/iter.).

**Bonne capacité d'EPSN à recouvrir les transferts**

# Évaluation de la phase de coordination

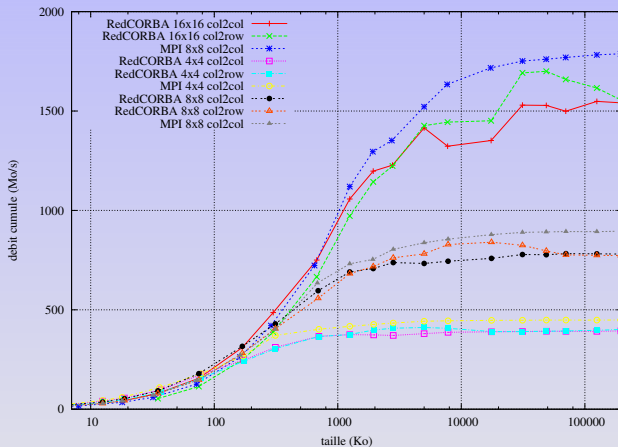
Surcoût réel pour une simulation rapide (100 ms/iter.) et lente (1000 ms/iter.).



**Phase de coordination recouverte partiellement voire totalement**

# Redistribution des grilles structurées

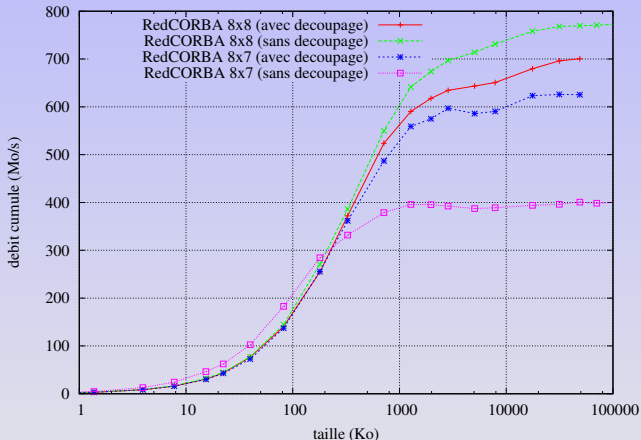
Cas de distributions *col2col* et *col2row* sur une grille rectangulaire 2D.



**Bonne agrégation de la bande passante**

# Redistribution des maillages non structurés

Grille 2D stockée en non structuré (quad.). Distribution par colonne côté émetteur.  
Stratégie de découpage avec Metis. Série de données aux nœuds.



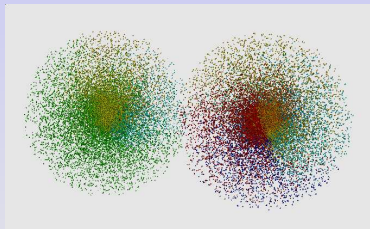
**Stratégie avec découpage intéressante pour des cas irréguliers**

- 1 Introduction
  - Problématique
  - Travaux existants
  - Positionnement & Contributions
- 2 Modèles pour un environnement de pilotage
  - Modèle pour le pilotage de simulations numériques parallèles
  - Modèle pour la redistribution d'objets complexes
- 3 **Réalisation & Validation**
  - EPSN
  - Résultats expérimentaux
  - **Quelques applications**
- 4 Conclusion & Perspectives

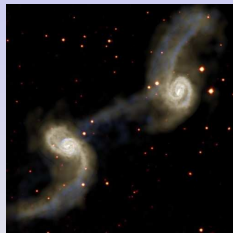
## Simulation parallèle en astrophysique (Springel *et al.*)

- Galaxie modélisée par un fluide (Smooth Particle Hydrodynamics)
- Calcul des forces gravitationnelles (problème à N-corps) sur la base d'un *octree*
- Migration des particules très fréquente (dynamacité)
- Code C++ SPMD avec MPI

## Cas test : collision de deux galaxies



Distribution sur 16 processeurs.



Collision de deux galaxies.

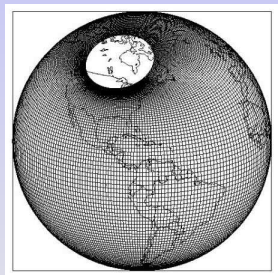
## Résultats

- 60000 particules (série des positions 3D, 1400 Ko)
- Simulation distribuée sur 16 processeurs
- Visualisation parallèle sur 4 processeurs (mur d'images  $2 \times 2$ )
- Visualisation des particules : glyph vs sprite
- Approche placement sans découpage : 4 régions par processus de visualisation
- Période d'envoi  $p = 1$  ou  $10$

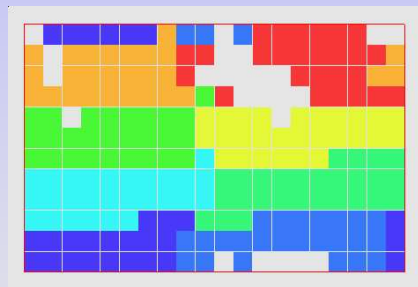
simulation à vide	258 ms/iter.	–
getp ( $p=1$ )	342 ms/iter.	+30%
getp ( $p=10$ )	279 ms/iter.	+8%
visu. séq. en ligne ( $p=1$ , glyph)	8250 ms/iter.	+3000%
visu. séq. en ligne ( $p=10$ , glyph)	1441 ms/iter.	+800%
visu. paral. en ligne ICE-T ( $p=1$ , glyph)	2370 ms/iter.	+450%
visu. paral. en ligne ICE-T ( $p=10$ , glyph)	379 ms/iter.	+46%
visu. paral. en ligne ICE-T ( $p=1$ , sprite)	370 ms/iter.	+43%
visu. paral. en ligne ICE-T ( $p=10$ , sprite)	280 ms/iter.	+8%

## Etude circulation océanique (Los Alamos, [climate.lanl.gov/Models/POP](http://climate.lanl.gov/Models/POP))

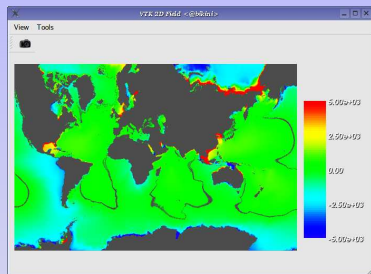
- Dynamique des fluides sur une sphère en rotation
- Grille orthogonale 2D (760×468) → coordonnées sphériques
- Décomposition spatiale → distribution creuse par bloc
- Code Fortran 90, SPMD/MPI, tâche swap dans le MHT



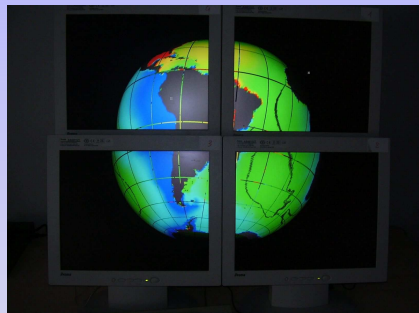
Grille irrégulière utilisée dans POP



Distribution par bloc « creuse » sur 8 processeurs.



Pression à la surface des océans (continent = gris)



Visualisation en ligne sur un mur d'images 2 × 2.

## Résultats préliminaires

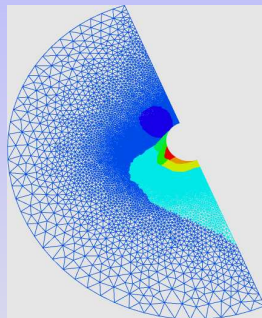
- 12 s/iter. sur 8 processeurs, transfert pression (7897 Ko) 27 ms
- Reconstruction sphérique 3D : en séquentiel 20 s, contre 0.4 s en parallèle (ICE-T)

## Simulation parallèle en mécanique des fluides (ScAIAppIix)

- Mécanique des fluides : équation de Navier/Stokes 2D & 3D compressible
- Méthode explicite de type « volume finis »
- Cas test : écoulement hypersonique de l'air autour du cockpit d'une navette pénétrant dans l'atmosphère
- Maillage non structuré (16760 triangles)
- Code Fortran 90, SPMD/MPI

## Résultats préliminaires

- 2.35 s/iter. sur 8 processeurs
- Transfert densité (86 Ko) entièrement recouvert
- Visualisation en ligne séquentielle +12%/iter.
- Visualisation en ligne parallèle en +2.5%/iter.



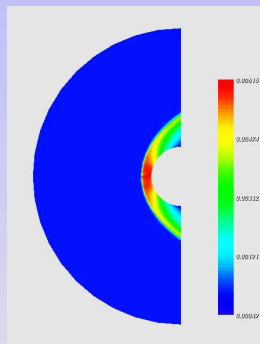
Distribution sur 8 processeurs.

## Simulation parallèle en mécanique des fluides (ScAIAppIix)

- Mécanique des fluides : équation de Navier/Stokes 2D & 3D compressible
- Méthode explicite de type « volume finis »
- Cas test : écoulement hypersonique de l'air autour du cockpit d'une navette pénétrant dans l'atmosphère
- Maillage non structuré (16760 triangles)
- Code Fortran 90, SPMD/MPI

## Résultats préliminaires

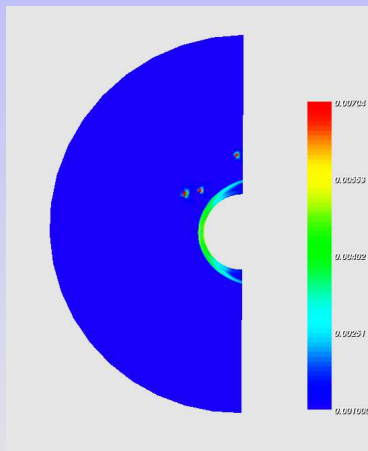
- 2.35 s/iter. sur 8 processeurs
- Transfert densité (86 Ko) entièrement recouvert
- Visualisation en ligne séquentielle +12%/iter.
- Visualisation en ligne parallèle en +2.5%/iter.



Visualisation de la densité de l'air (VTK).

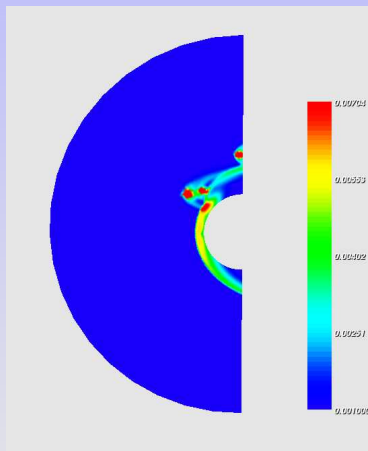
## Perturbation à la volée de la densité du fluide avec Simone

→ un exemple concret d'interaction pratique « à la main » par les scientifiques



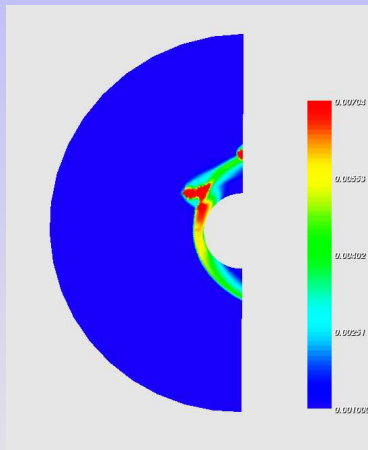
## Perturbation à la volée de la densité du fluide avec Simone

→ un exemple concret d'interaction pratiqué « à la main » par les scientifiques



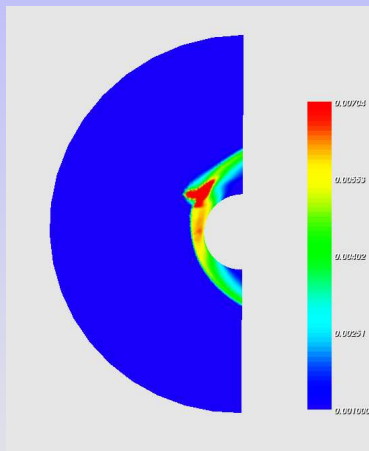
## Perturbation à la volée de la densité du fluide avec Simone

→ un exemple concret d'interaction pratiqué « à la main » par les scientifiques



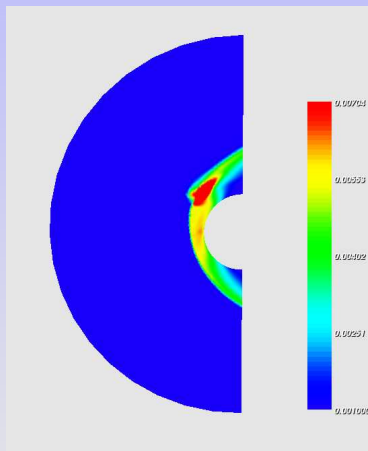
## Perturbation à la volée de la densité du fluide avec Simone

→ un exemple concret d'interaction pratiqué « à la main » par les scientifiques



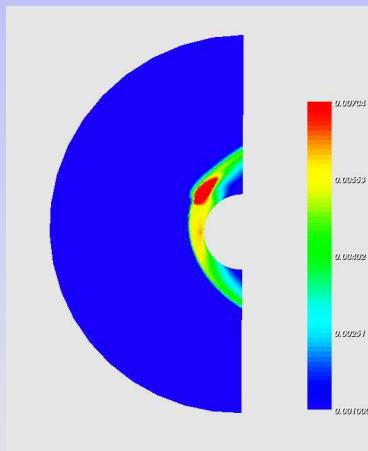
## Perturbation à la volée de la densité du fluide avec Simone

→ un exemple concret d'interaction pratiqué « à la main » par les scientifiques



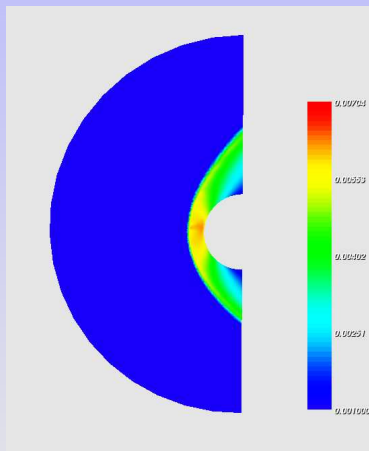
## Perturbation à la volée de la densité du fluide avec Simone

→ un exemple concret d'interaction pratiqué « à la main » par les scientifiques



## Perturbation à la volée de la densité du fluide avec Simone

→ un exemple concret d'interaction pratiqué « à la main » par les scientifiques



## Environnement de pilotage pour des simulations parallèles intégrant des capacités de visualisation parallèle

- **Modélisation des simulations SPMD sur la base d'un MHT**
  - introduction d'un système de datation pour garantir la cohérence des interactions (accès aux données)
- **Proposition d'un modèle de redistribution pour des objets complexes**
  - messages symboliques, approches spatiale et placement de la redistribution
- **Conception et réalisation de la plate-forme EPSN**
  - plate-forme s'appuyant sur ces deux modèles
  - couche de communication basée sur CORBA
  - visualisation parallèle avec VTK & ICE-T
- **Mesures des performances et validation sur des « vrais » codes**
  - recouvrement des transferts, coordination efficace, agrégation de la bande-passante, bénéfice de la visualisation parallèle

## Perspectives à court terme

- Amélioration des performances des communication
  - mise en place d'une autre couche de transfert : PadicoTM, MPI-2, ...
  - ajouter des schémas de filtrage et de compression des données
  - ordonnancement des communications (KBPS, Wagner & Jeannot)
- Vers la réalité virtuelle
  - interaction dans un environnement immersif : VTK+VRPN, CAT
- Test de passage à l'échelle avec Grid'5000 !

## Perspectives à plus long terme

- Vers des objets plus complexes
  - objets hiérarchiques (octrees, grilles multi-niveaux, arbres de partitionnement)
  - prise en charge de la dynamique (fenêtre de visualisation, AMR)
  - redistribution entre des grilles et des maillages non identiques
- Vers le pilotage des simulations parallèles avec couplage de codes
  - simulations multi-physiques, multi-échelles
- Développement d'un serveur de données relai
  - rejouer et visualiser l'historique de la simulation hors-ligne